

Verteilte faseroptische Sensoren: Prinzip, Anwendung und Simulation mit MATLAB



Seminar: Matlab und Simulink für HTL
20.03.2023

Univ.-Prof. Dr.-Ing. Marco Da Silva
marco.silva@jku.at

Institut für Elektrische Messtechnik

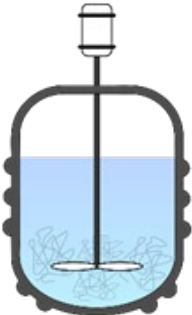
Wedergang

- 1992 – 1996 Techniker für Elektronik (entspricht Berufsausbildung mit Matura)
- 1996 – 1998 Grundstudium Elektrotechnik an der UTFPR (Brasilien)
- 1999 – 2002 Hauptstudium Elektrotechnik an der TU Dresden (DE)
- 2004 bis 2009 Wiss. Mitarbeiter am HZDR (DE)
- 2008 Dissertation mit dem Thema „Impedance Sensors for Fast Multiphase Flow Measurement and Imaging“
- 2010 – 2022 A/Prof. @UTFPR
- Seit Sept/2022 Univ.-Prof. und Vorstand Institut für Elektrische Messtechnik an der JKU

<https://www.jku.at/imt>

→ Wissenschaftliche Fokus: Mess- und Sensortechnik für industrielle Anwendungen

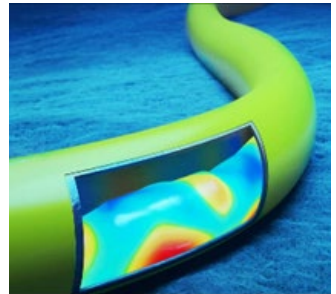
Messtechnik für verfahrenstechnische Prozesse



Kristallisation

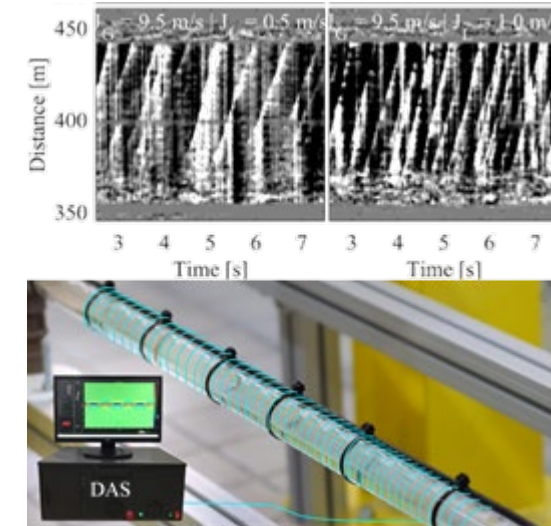


Bioreaktor (auch
Fermenter)

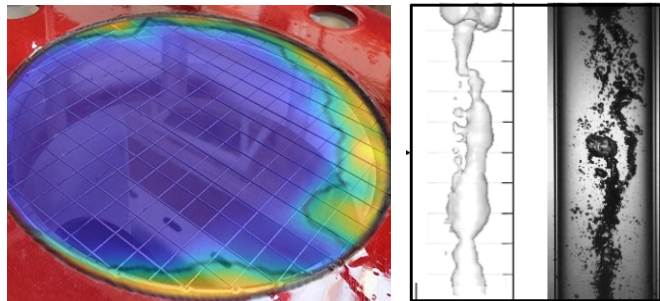


Mehrphasenströmungen

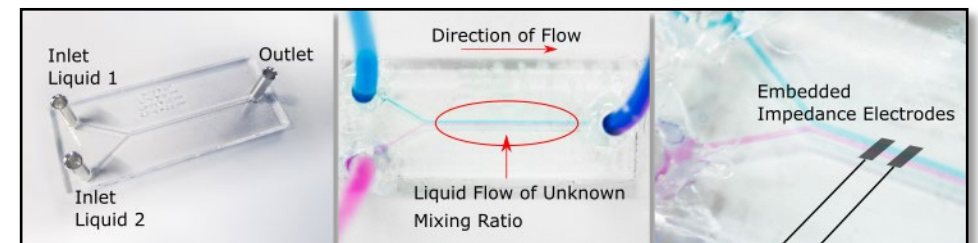
Faseroptische Sensoren



<http://dx.doi.org/10.1109/jsen.2022.3232269>



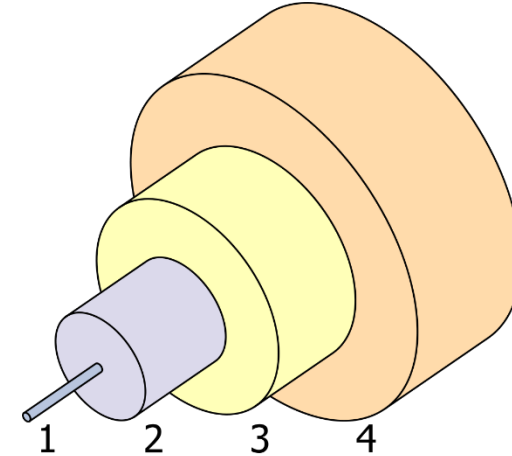
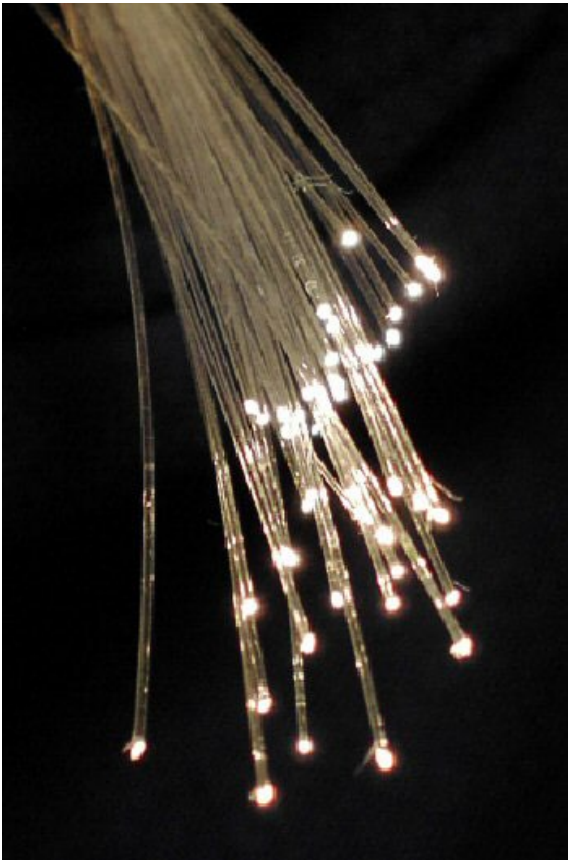
Sensorik für Mikrokanäle



Lab-on-a-Chip (auch Chiplabor)

Verteilte faseroptische Sensoren

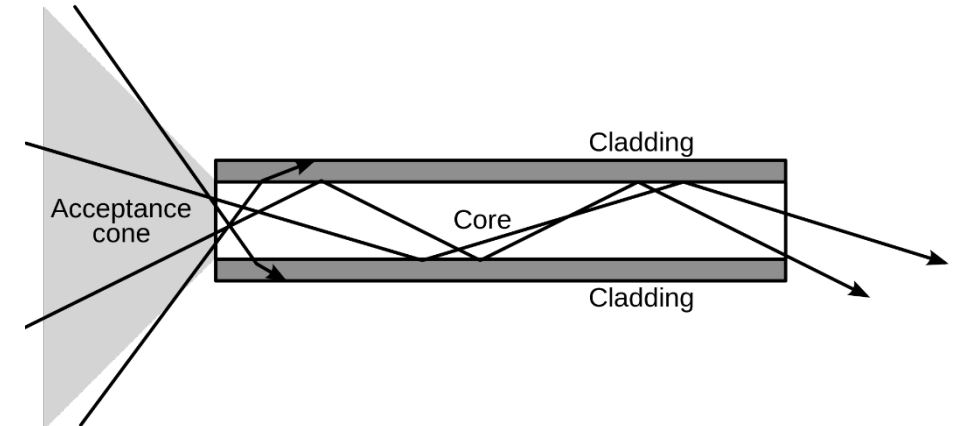
Lichtwellenleiter (optische Faser)



- 1 – Kern (engl. *core*)
 - 2 – Mantel (engl. *cladding*) mit $n_K > n_M$
 - 3 – Schutzbeschichtung (engl. *coating* und/oder *buffer*)
 - 4 – äußere Hülle (engl. *jacket*).

- aus dem snelliusscher Brechungsgesetz

$$\theta_{\max} = \arcsin \left(\frac{1}{n_0} \sqrt{{n_K}^2 - {n_M}^2} \right)$$

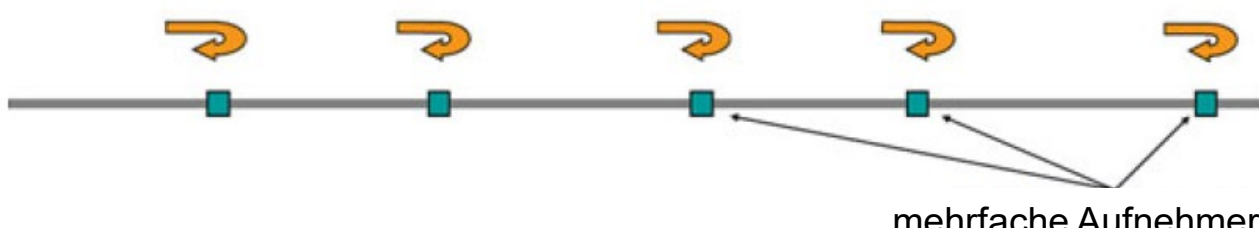


Faseroptische Sensoren

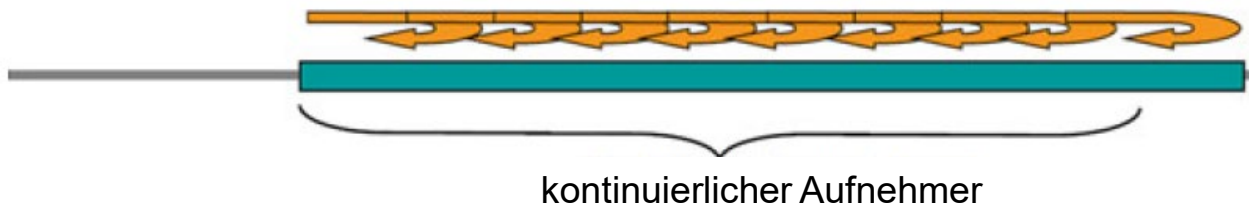
Einzelpunktsensor



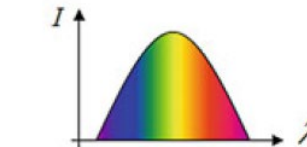
Mehrpunktsensor (*quasi-distributed*)



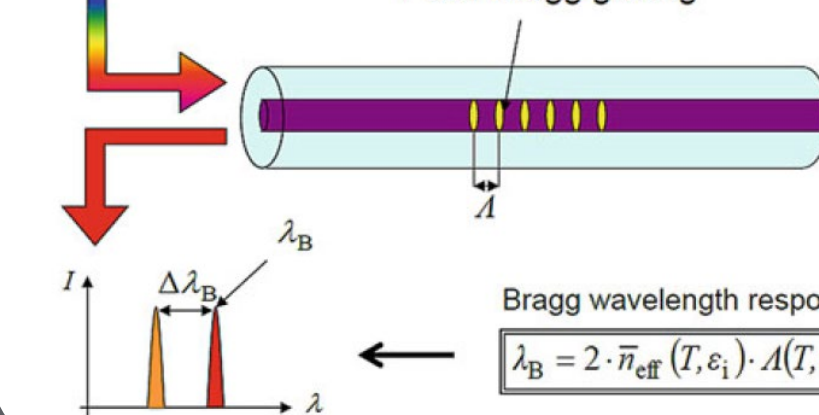
Verteilte Sensor (*distributed*)



Input spectrum: White light



Fiber Bragg grating



Bragg wavelength response

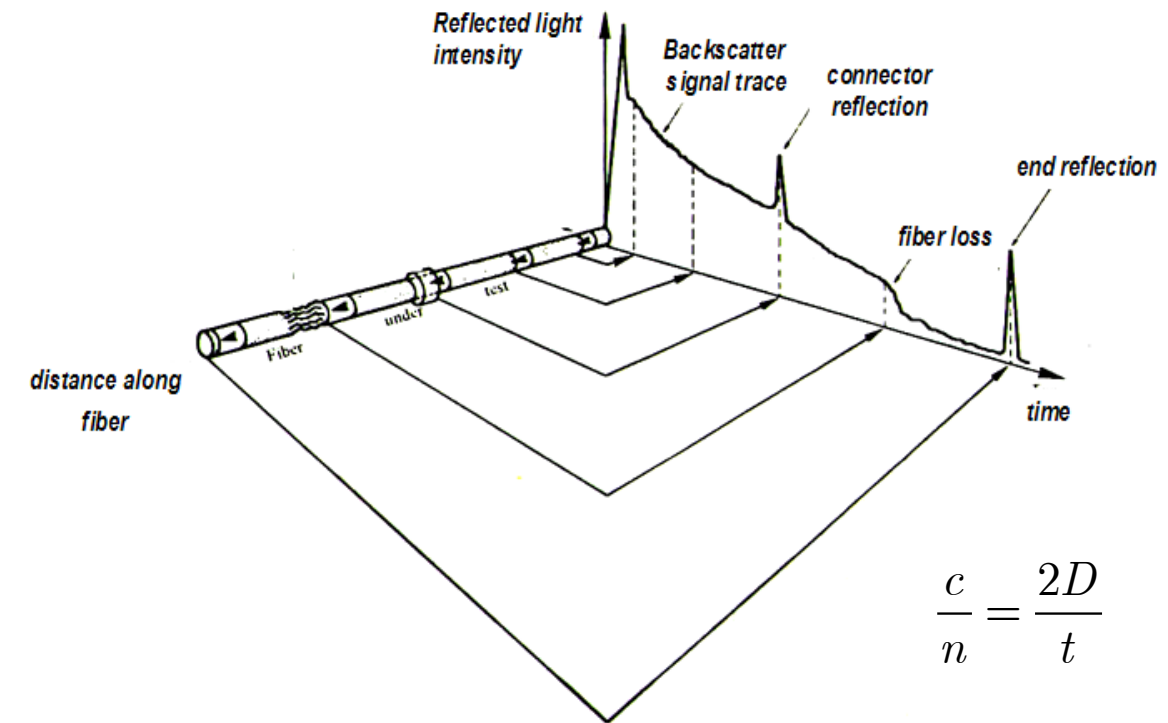
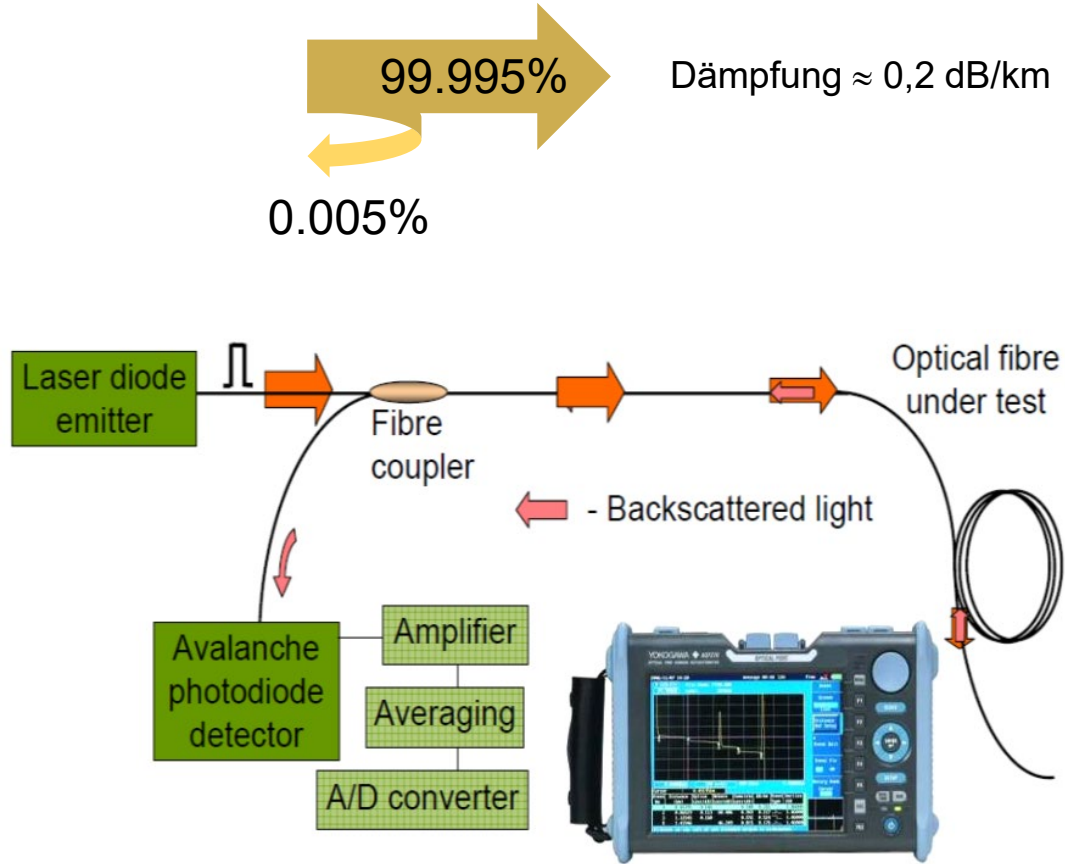
$$\lambda_B = 2 \cdot \bar{n}_{\text{eff}}(T, \varepsilon_i) \cdot \Lambda(T, \varepsilon_i)$$

https://doi.org/10.1007/978-3-319-26553-7_39

Quelle: A.H. Hartog, An Introduction to Distributed Optical Fibre Sensors, CRC Press, 2017

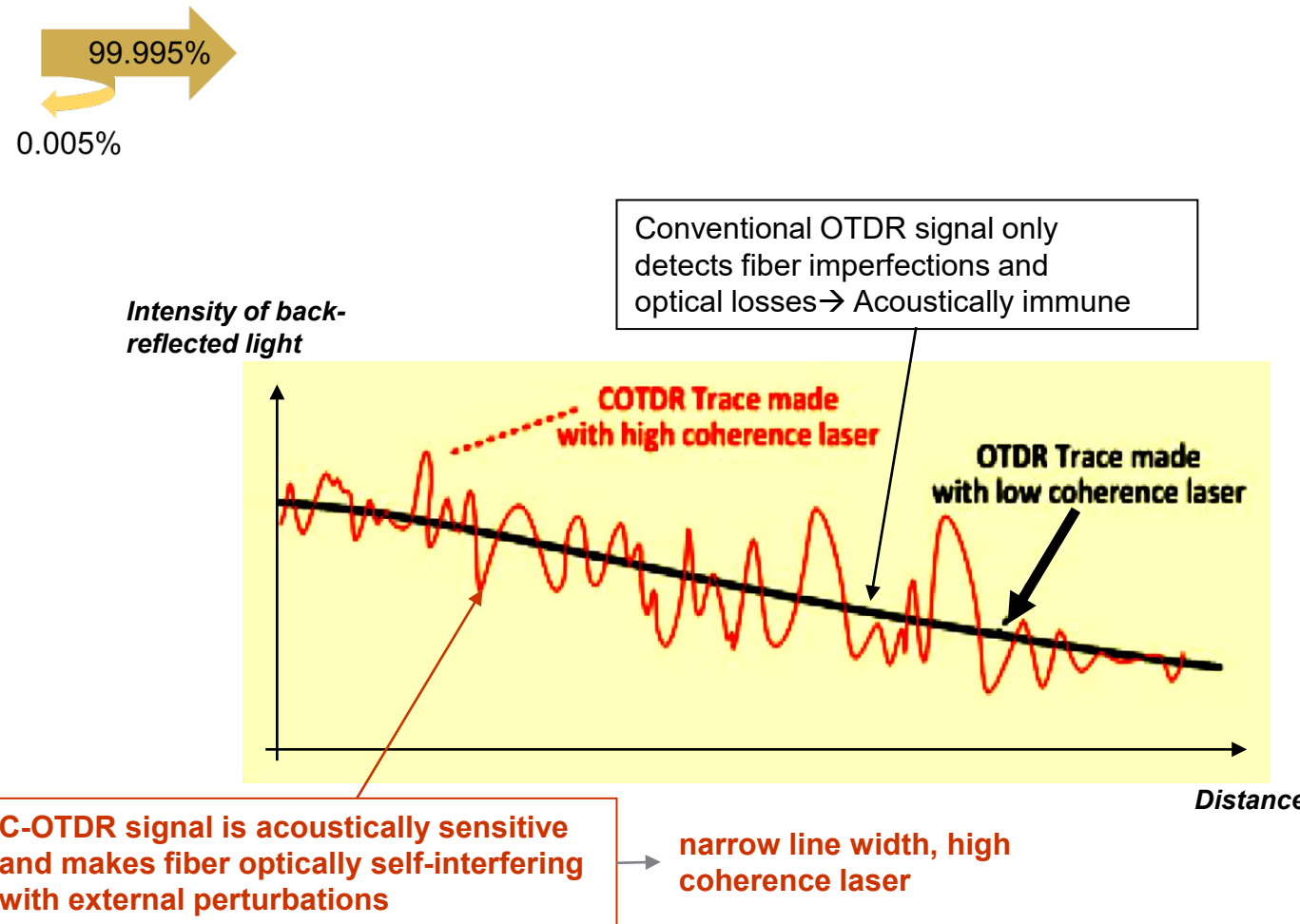
optische Zeitbereichsreflektometrie (OTDR)

(engl. optical time domain reflectometer - OTDR)

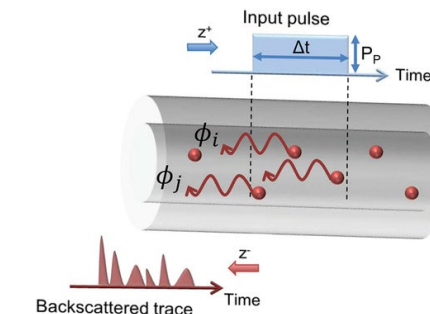


- Für $c = 3 \cdot 10^8 \text{ ms}^{-1}$, $n = 1.5$, $D = 1 \text{ km}$
 - *round trip* = 100 ns
 - max. Wiederholungsfrequenz = 100 kHz

Rayleigh scattering and optical coherence

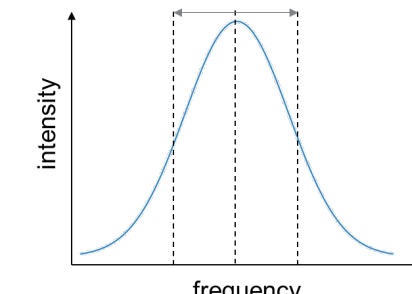


Rayleigh-Streuung

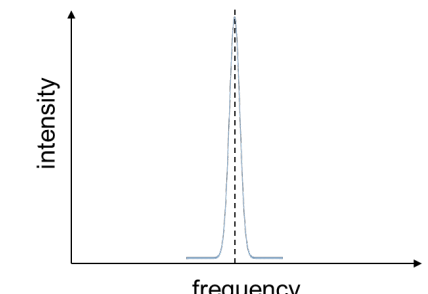


- Für $c = 3 \cdot 10^8 \text{ ms}^{-1}$, $n = 1.5$, $\Delta t = 100\text{ns}$
 - spatial resolution= 10m

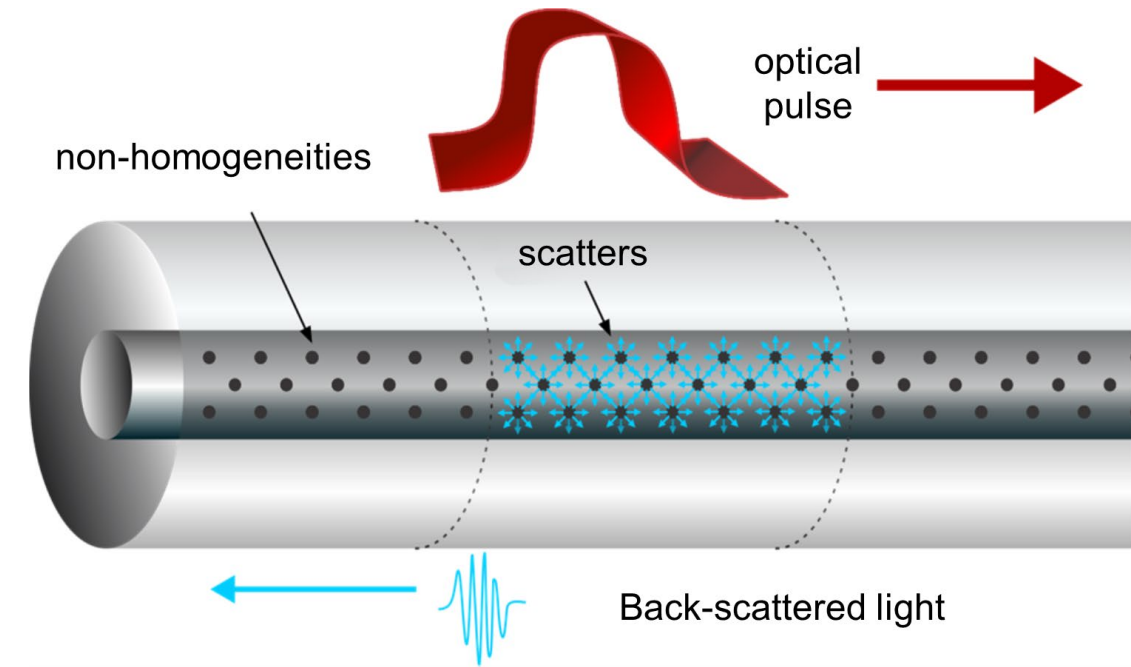
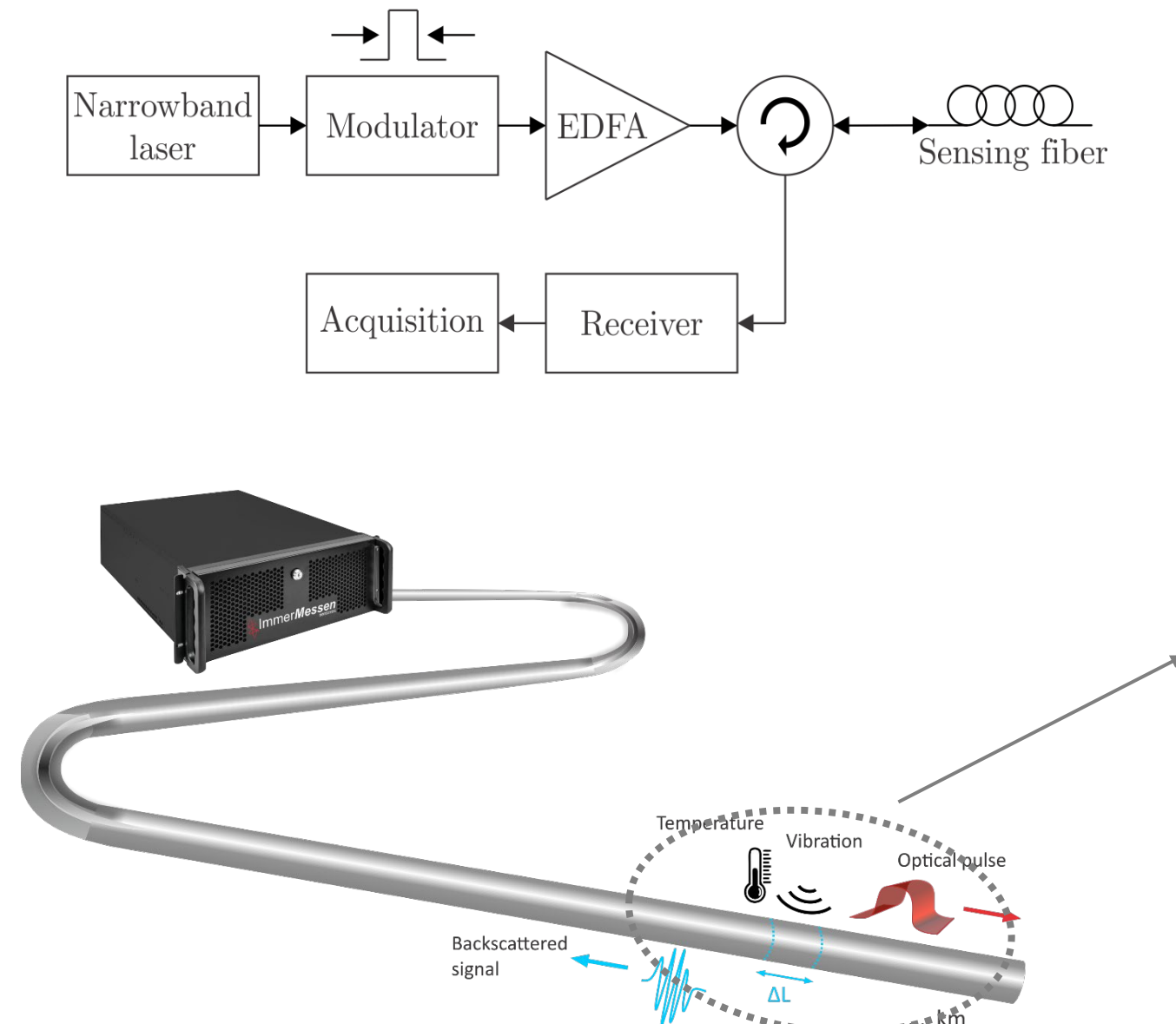
Non-coherent source



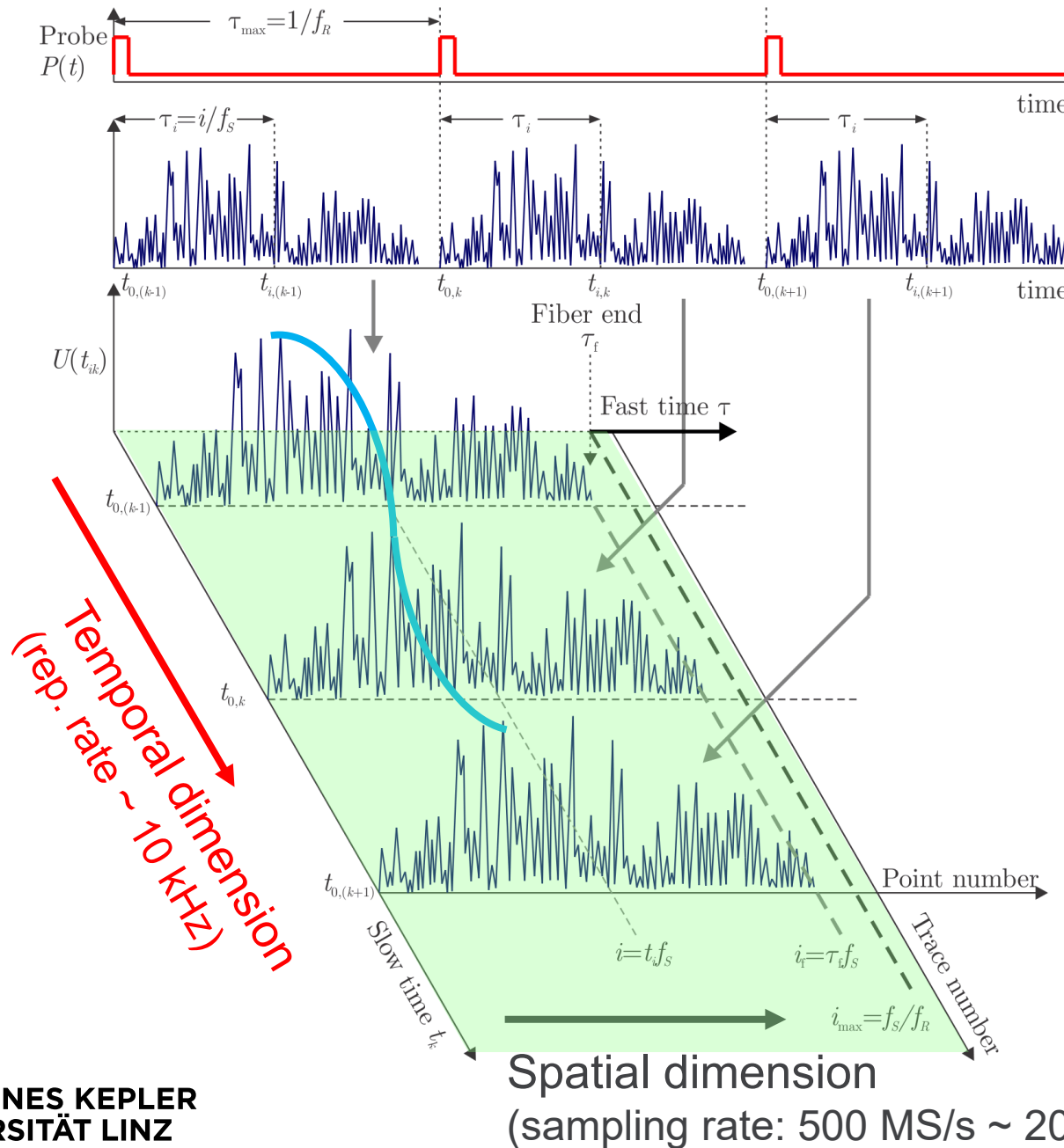
Coherence source (Narrow Line-Width)



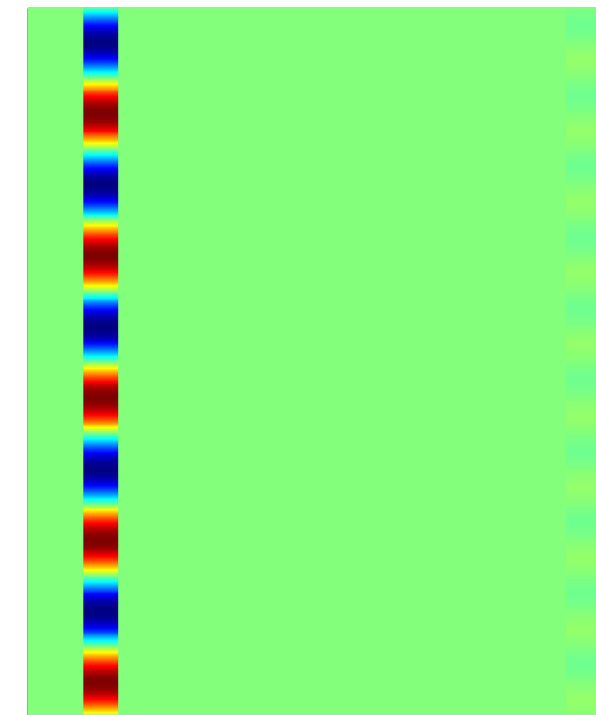
Distributed Acoustic Sensing (DAS)



Distributed Acoustic Sensing

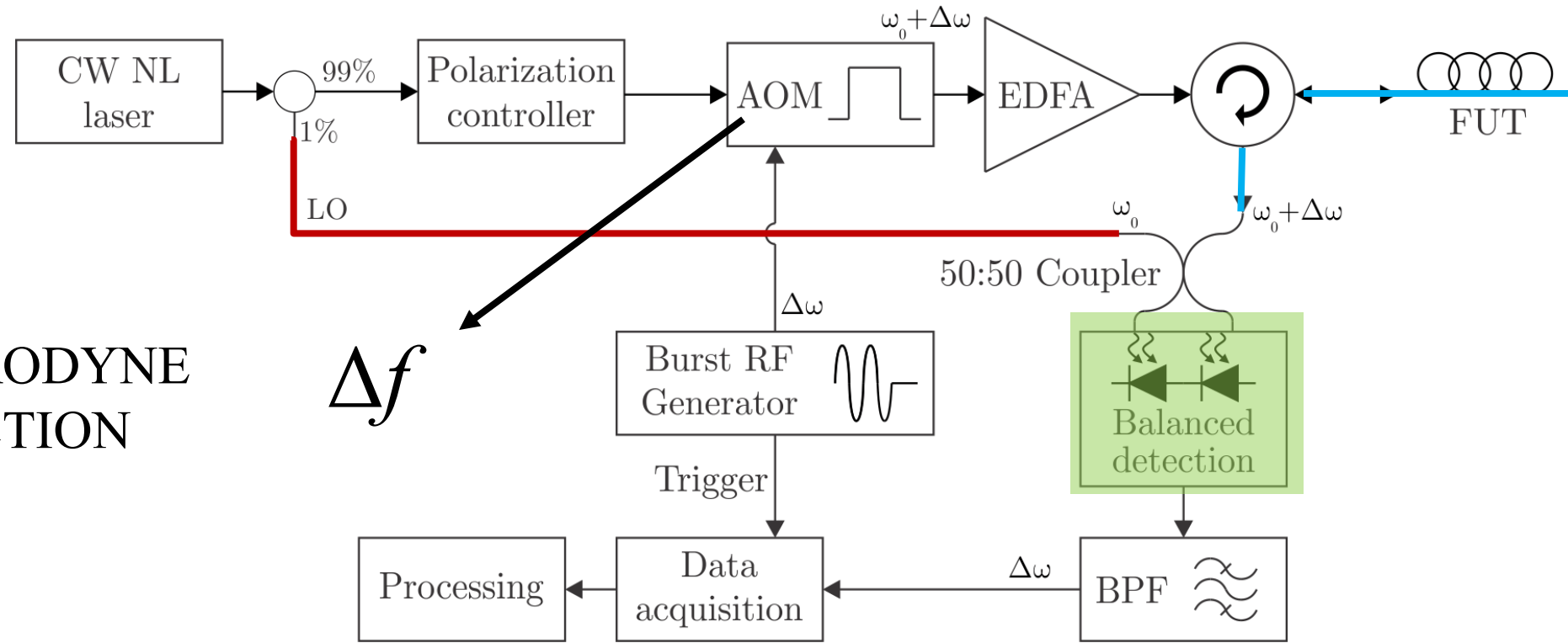


heat map



DAS SIMULATOR TOOL: Modulation

HETERODYNE
DETECTION



$$E_{LO}(t) = E_l \exp[j(2\pi f_0 t + \varphi_t)]$$

$$E_R(t) = E_r \sum_{i=1}^{N_s} a_i \exp(-\alpha v \tau_i) \text{rect}\left(\frac{t - \tau_i}{W}\right) \exp\left\{j[2\pi(f_0 + \Delta f)(t - \tau_i)] + \varphi_0 + \phi_i\right\}$$

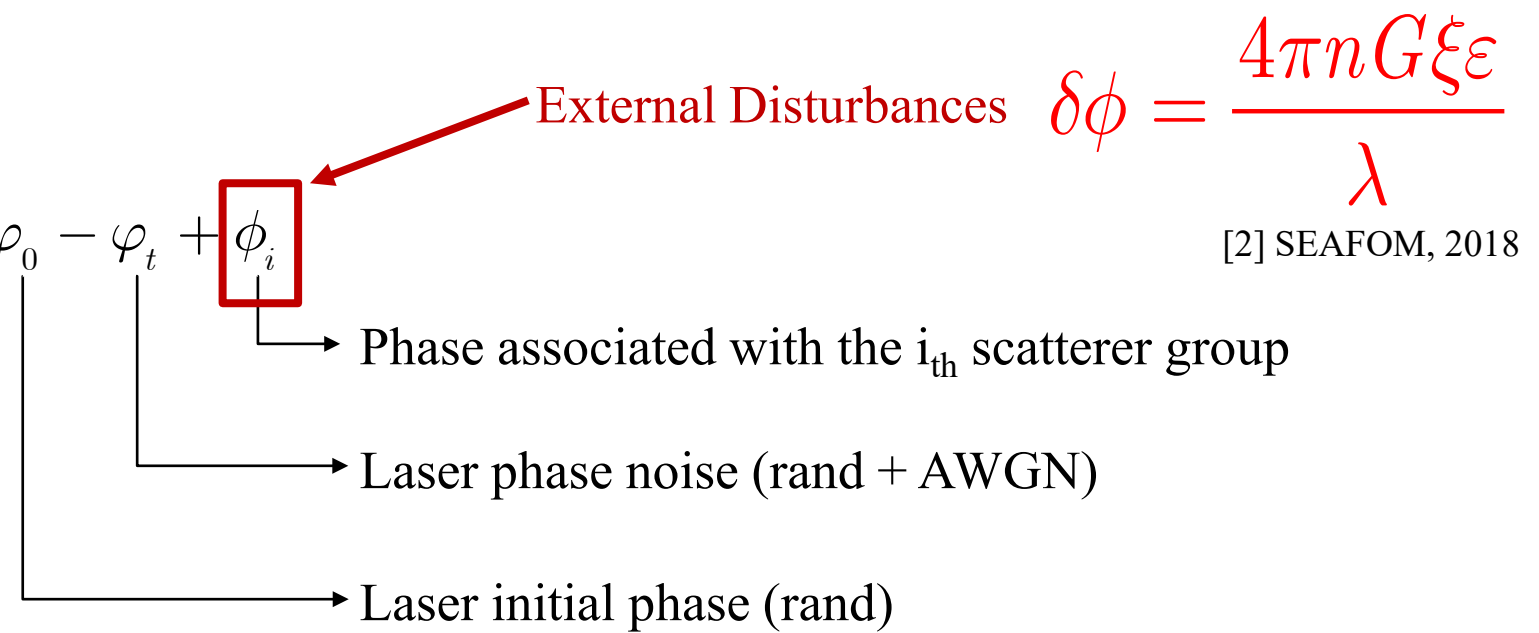
DAS SIMULATOR TOOL: Methodology

Balanced photodetector detects the AC component of the beating signal:

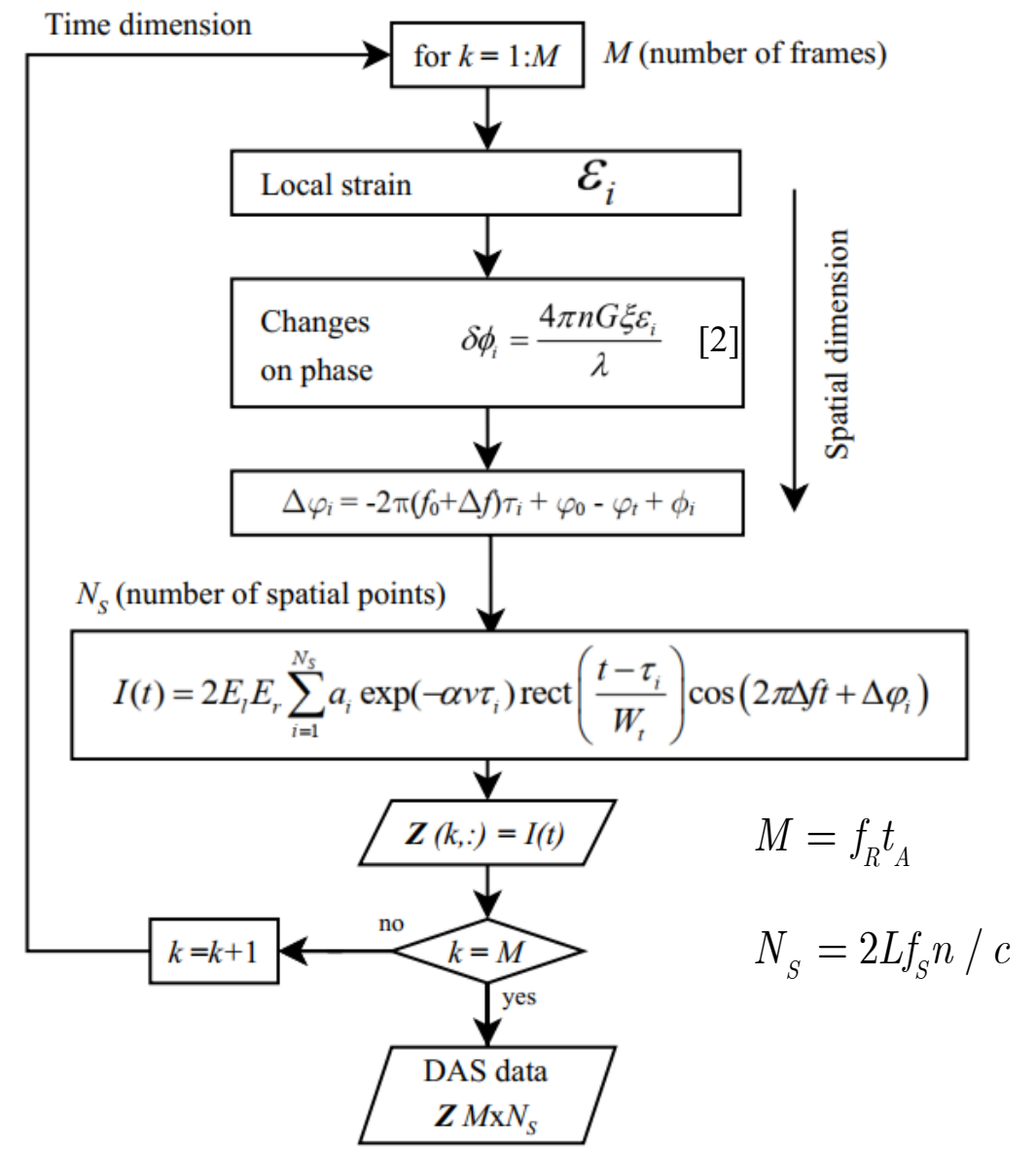
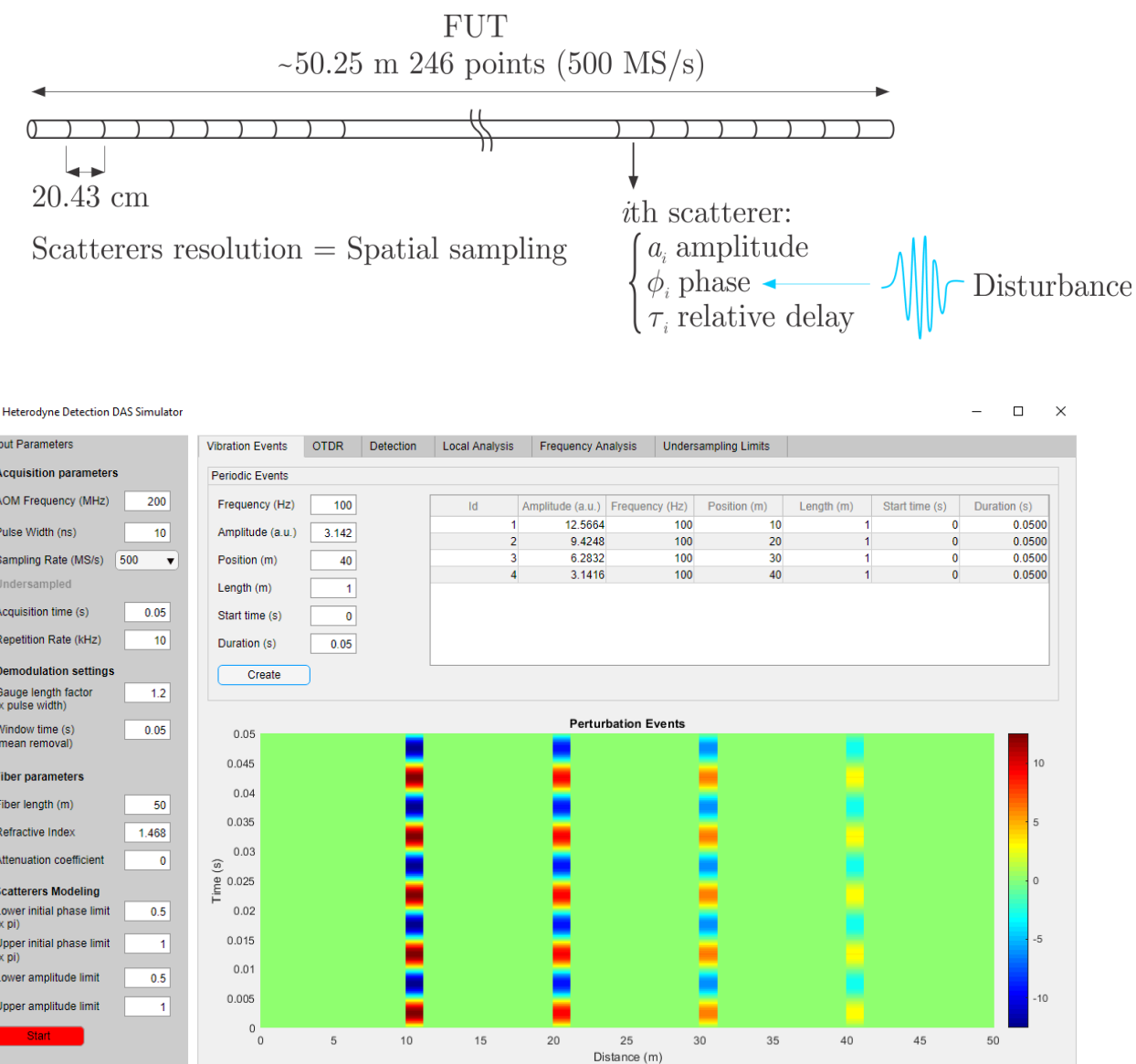
$$I(t) = 2E_l E_r \sum_{i=1}^{N_s} a_i \exp(-\alpha v \tau_i) \text{rect}\left(\frac{t - \tau_i}{W}\right) \cos\left(2\pi \Delta f t + \boxed{\Delta \varphi_i}\right)$$

[1] HEALEY, 1984b

$$\boxed{\Delta \varphi_i} = -2\pi \underbrace{(f_0 + \Delta f)}_{\text{Local phase due to wave propagation}} \tau_i + \varphi_0 - \varphi_t + \boxed{\phi_i}$$



DAS SIMULATOR TOOL: Modulation



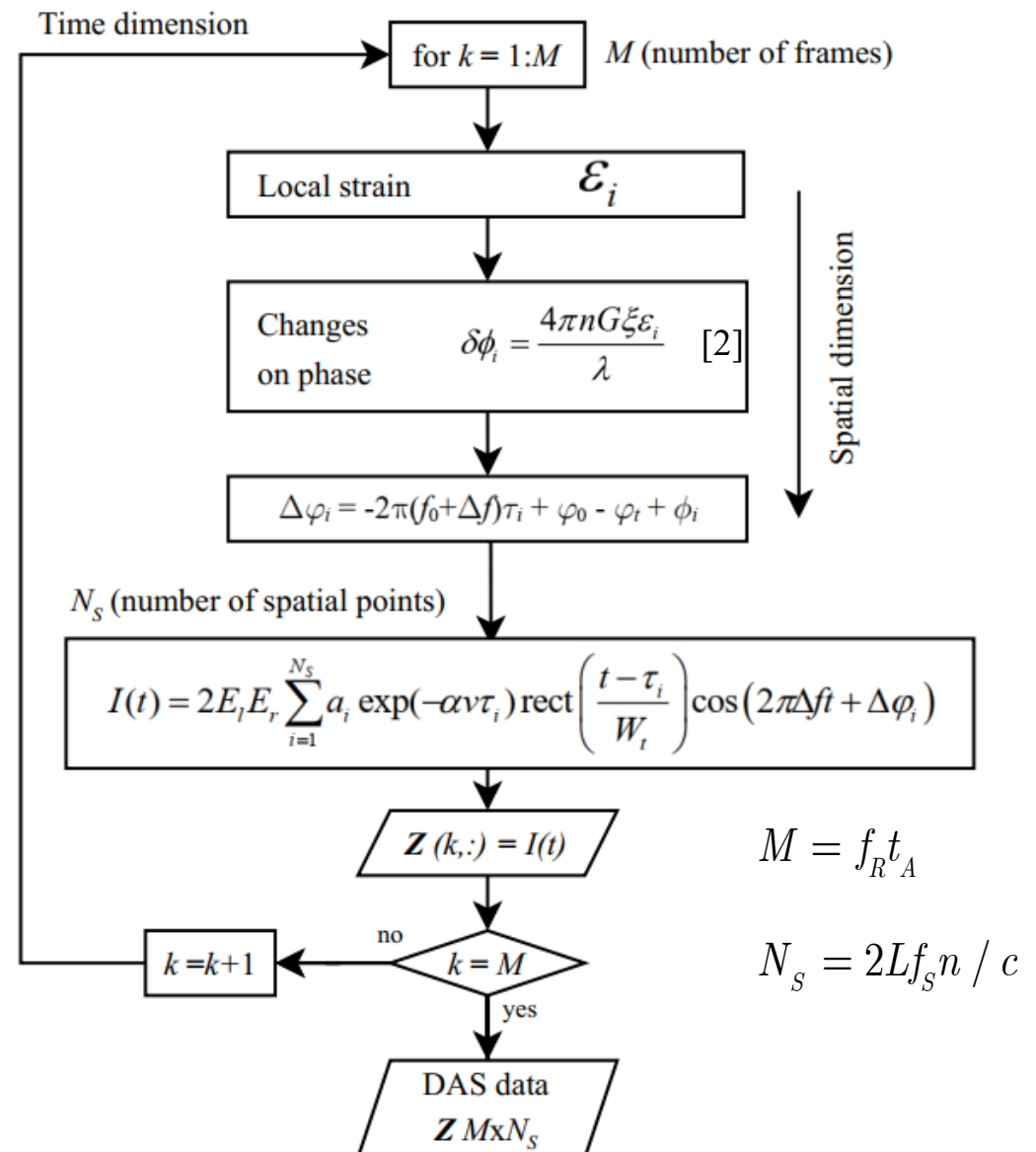
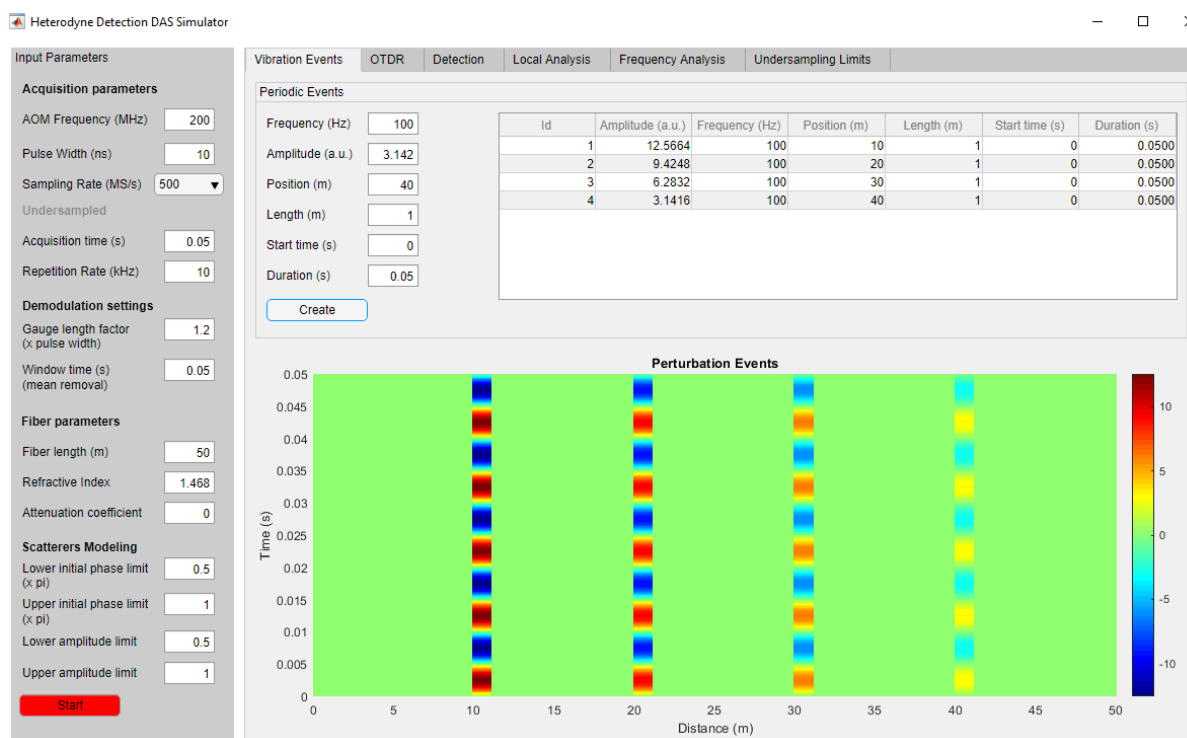
DAS SIMULATOR TOOL: Modulation

DAS Model

physical description of phenomena

steps for signal processing to extract information

yielding a **full input-output description of the system**

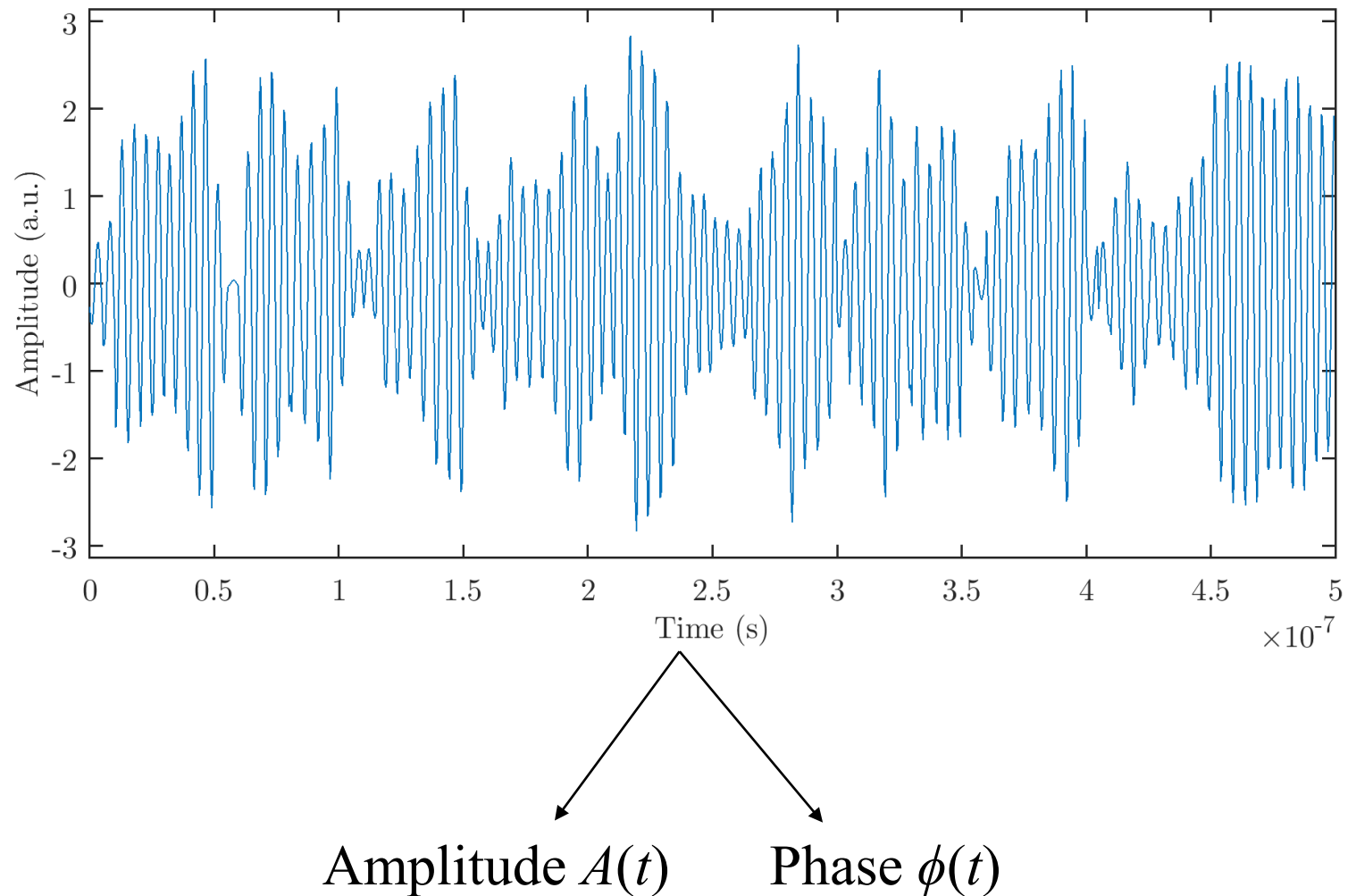


DAS SIMULATOR TOOL: Demodulation

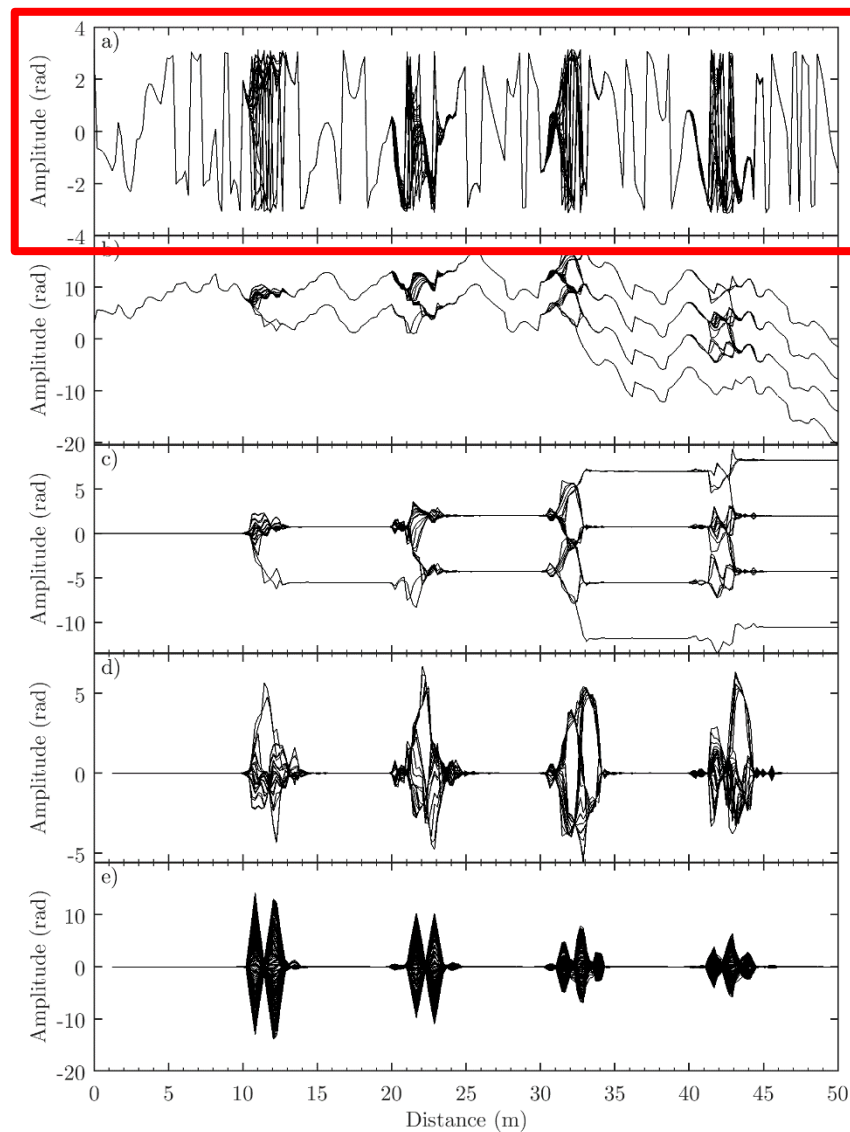
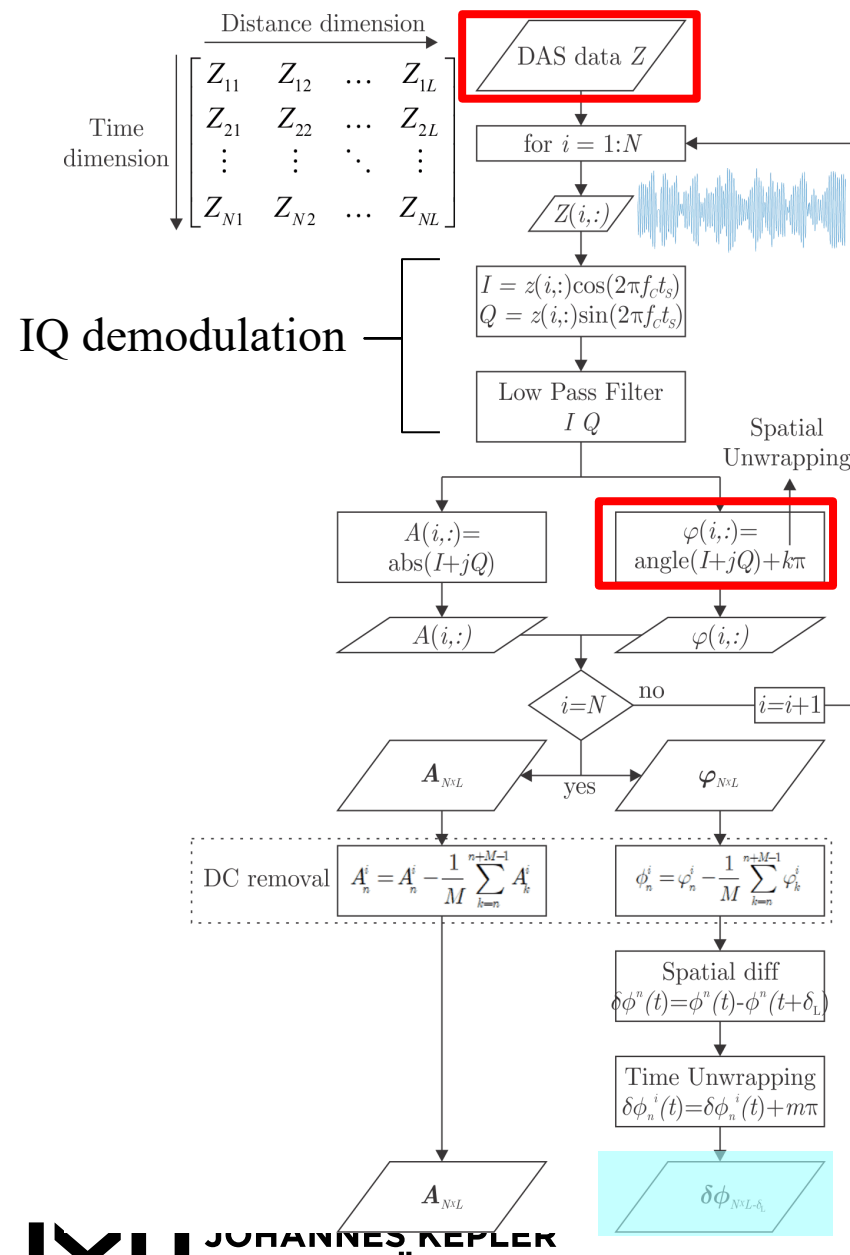
Acquired signal:

$$I_s(t) = A(t) \cos[2\pi f_c t + \phi(t)]$$

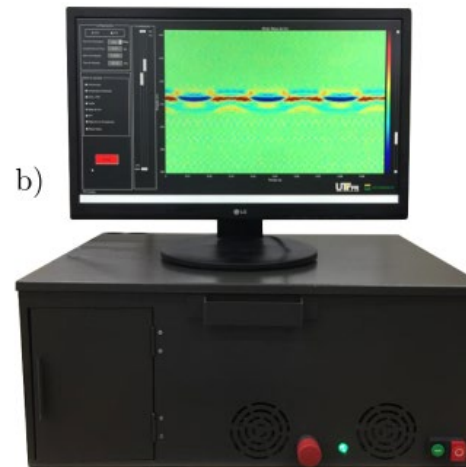
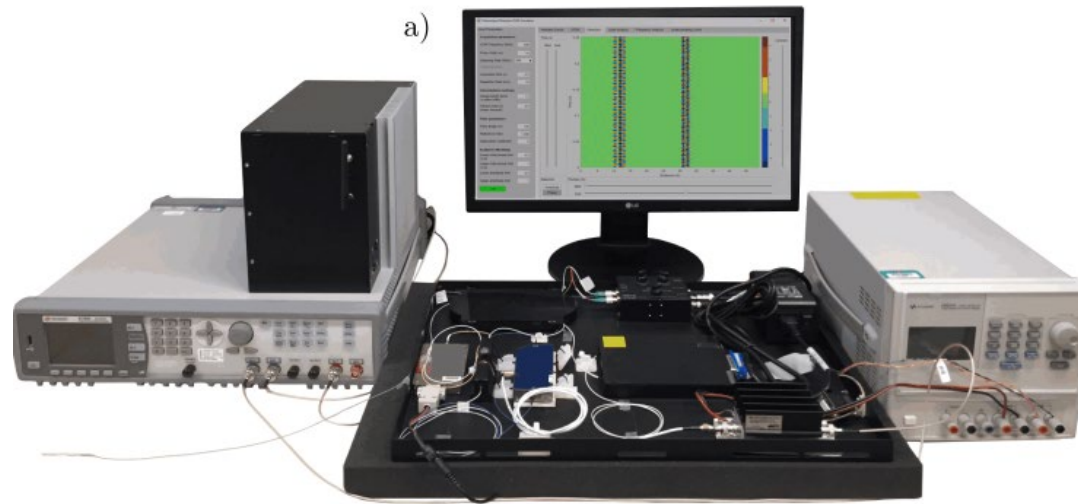
$$f_c = \Delta f$$



DAS SIMULATOR TOOL: Demodulation

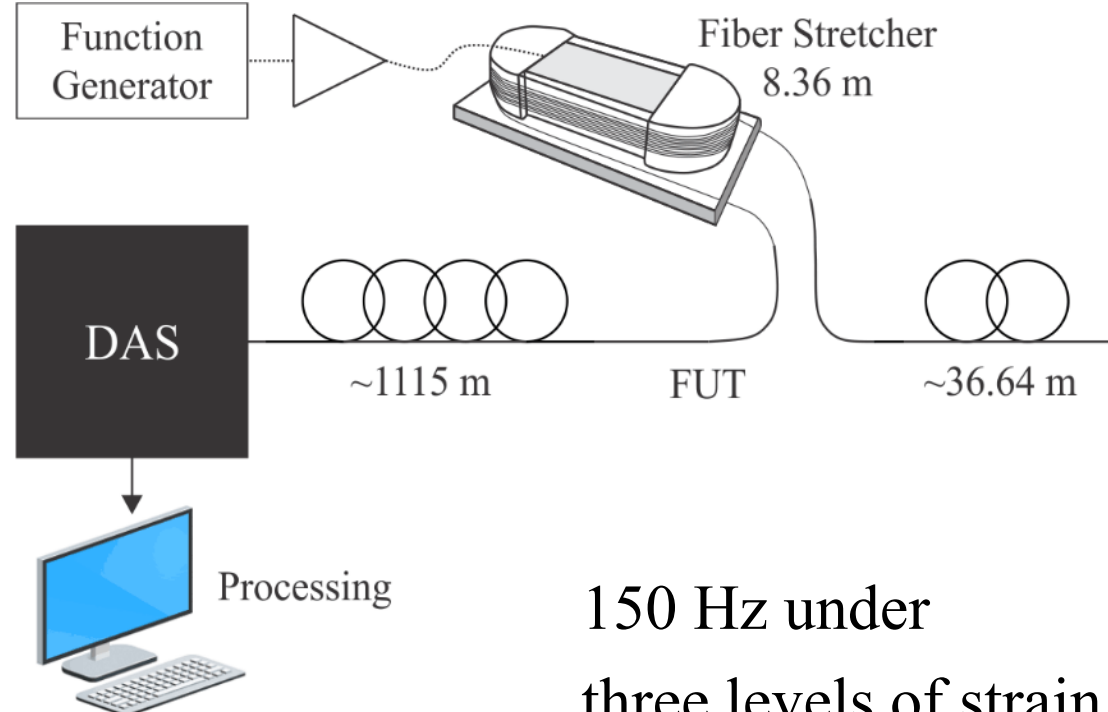


DAS SYSTEM AT UTFPR

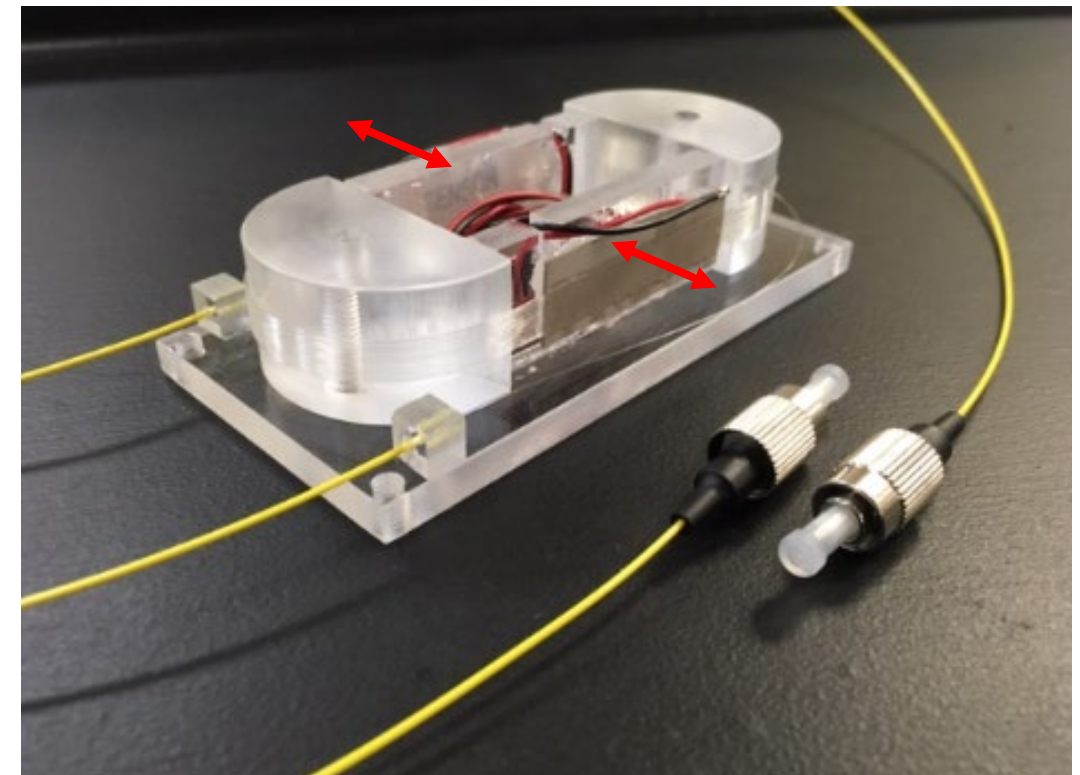


COUPLING SIMULATION AND EXPERIMENTS

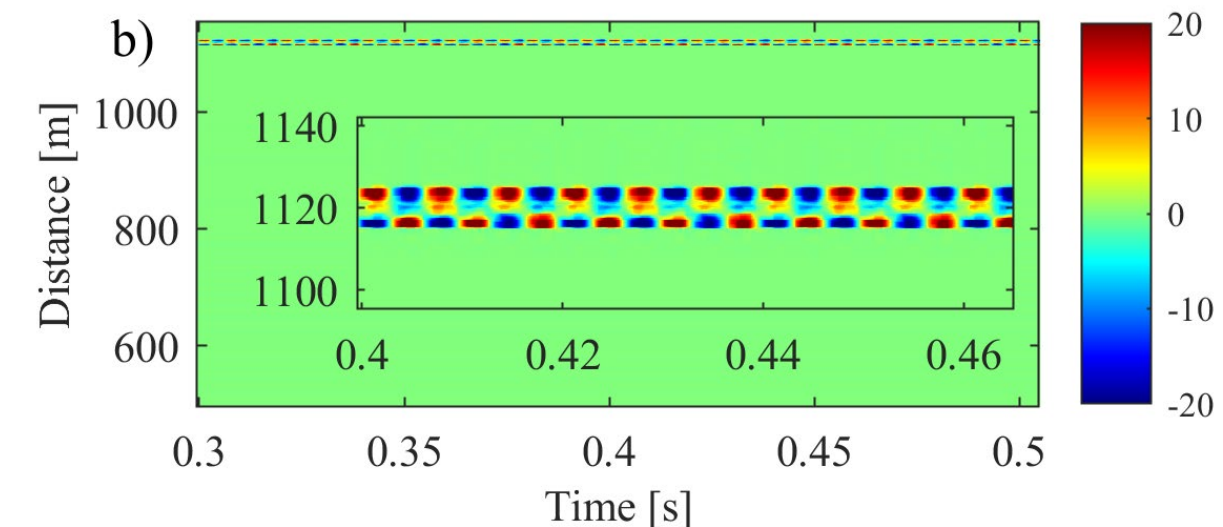
same experimental setup, mechanical perturbations, acquisition and demodulation parameters



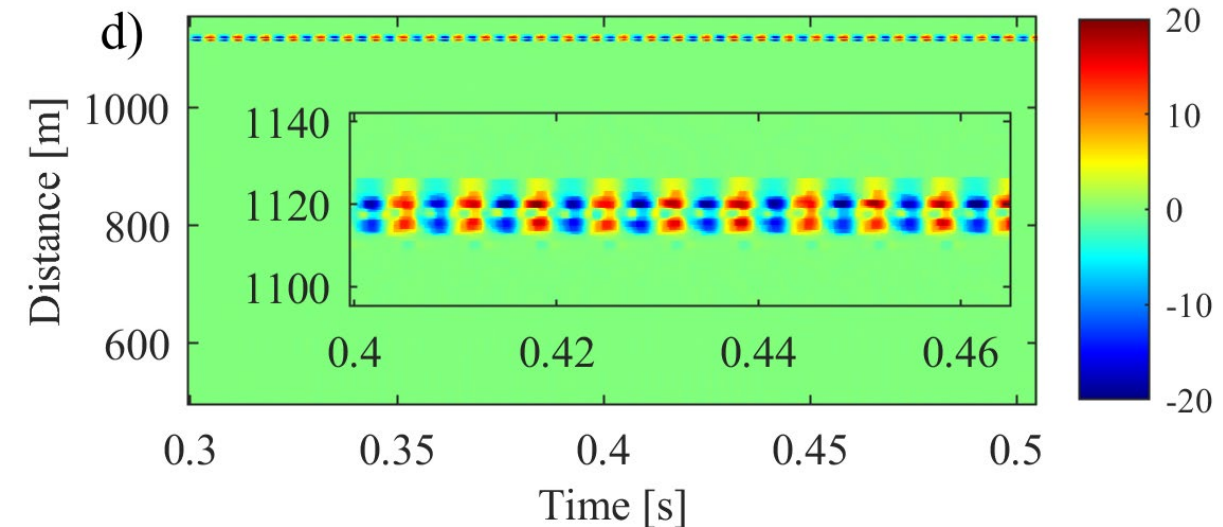
150 Hz under
three levels of strain



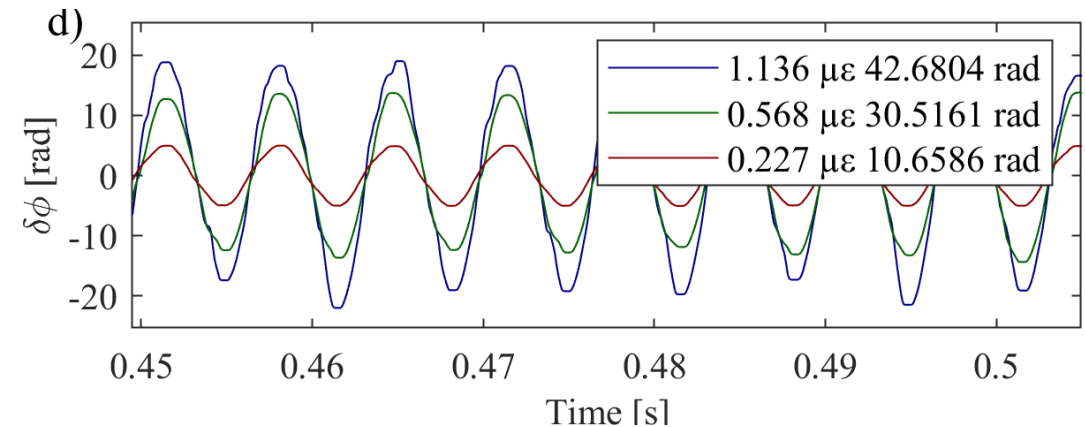
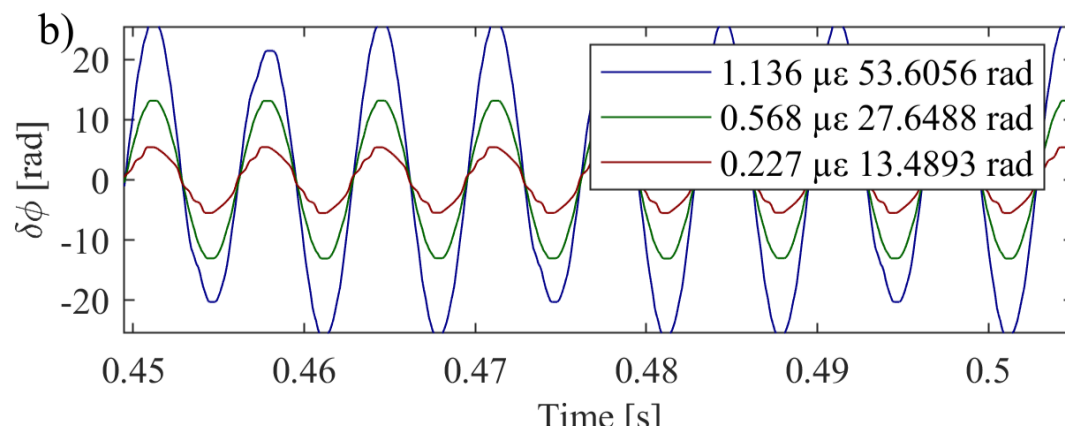
COUPLING SIMULATION AND EXPERIMENTS



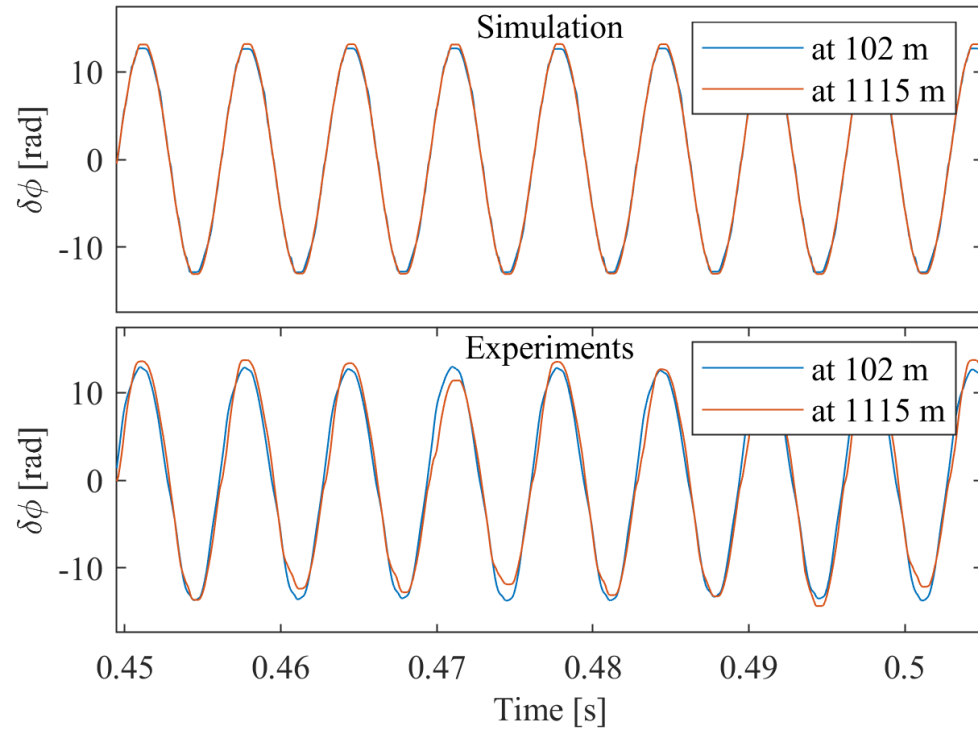
SIMULATION



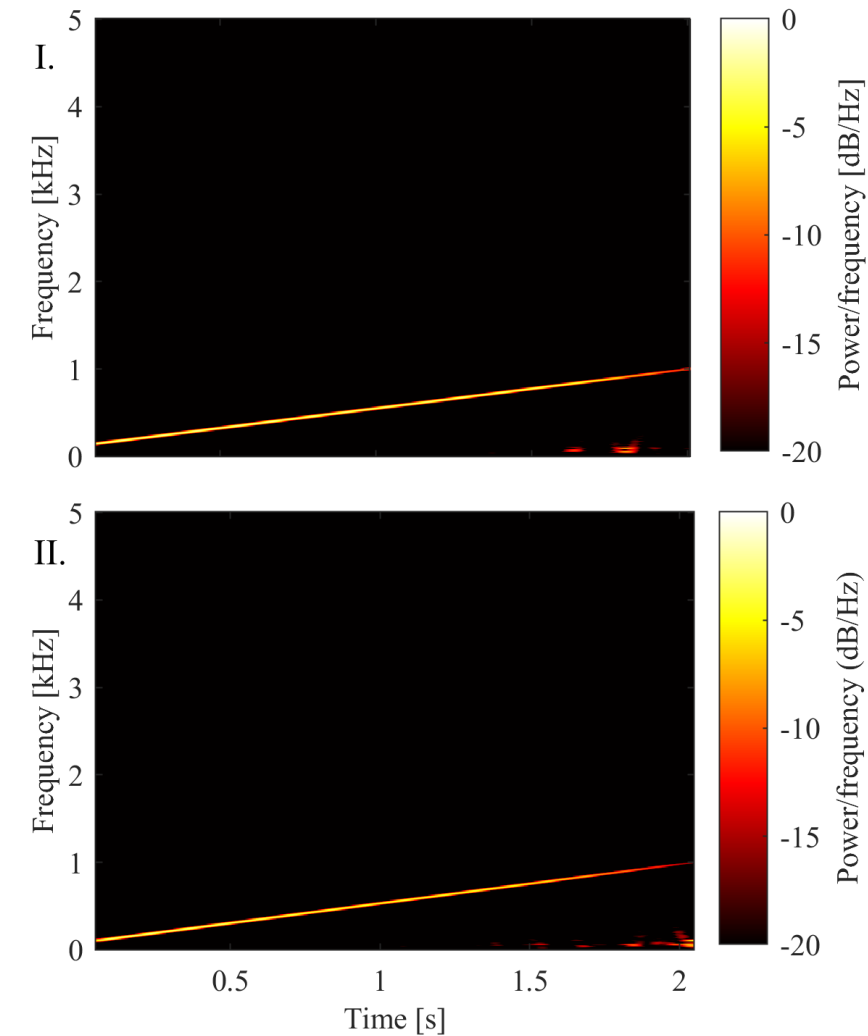
EXPERIMENTS



COUPLING SIMULATION AND EXPERIMENTS

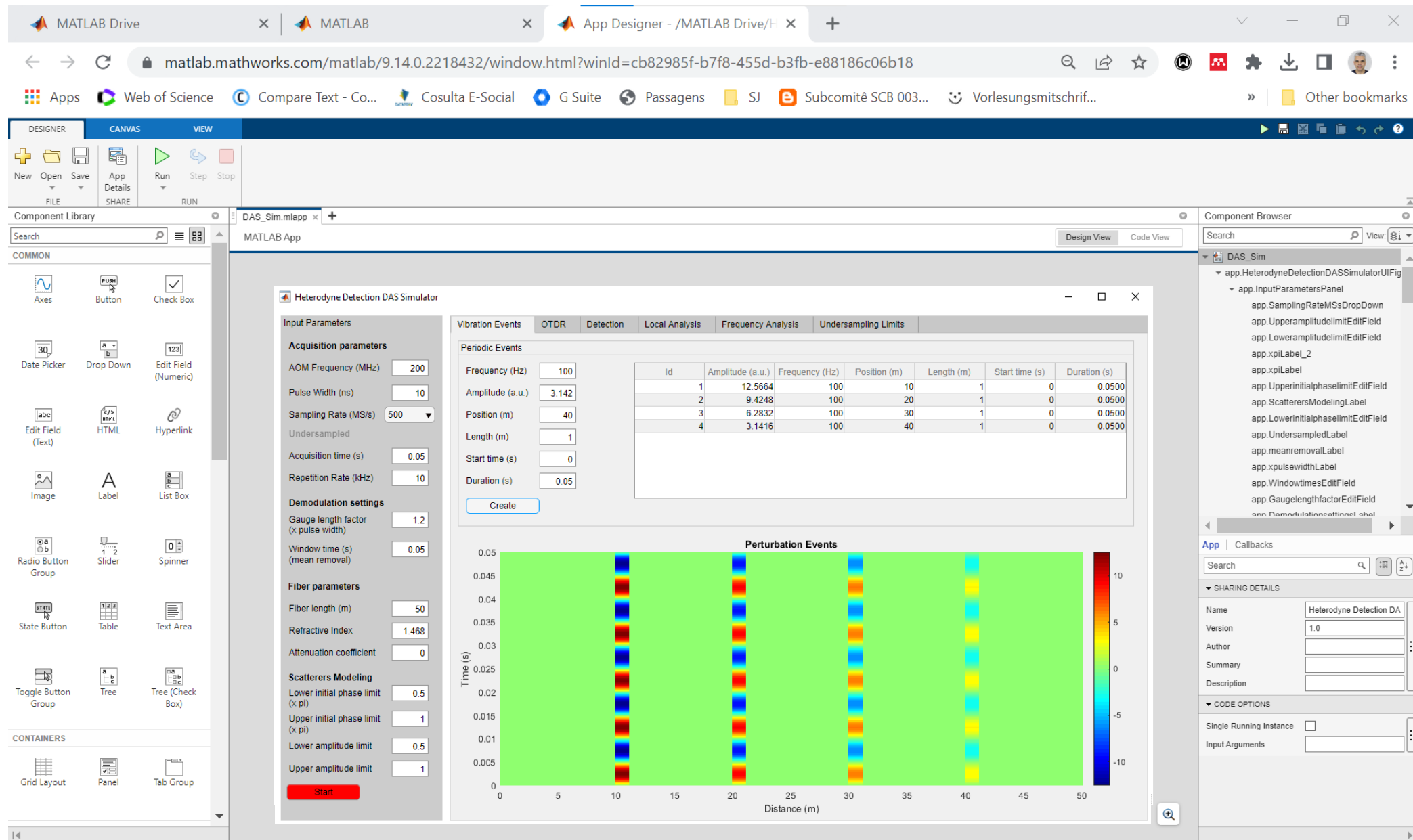


Frequency sweep: 100 Hz to 1 kHz



Modelling in MATLAB with “Design App”

<https://de.mathworks.com/products/matlab/app-designer.html>

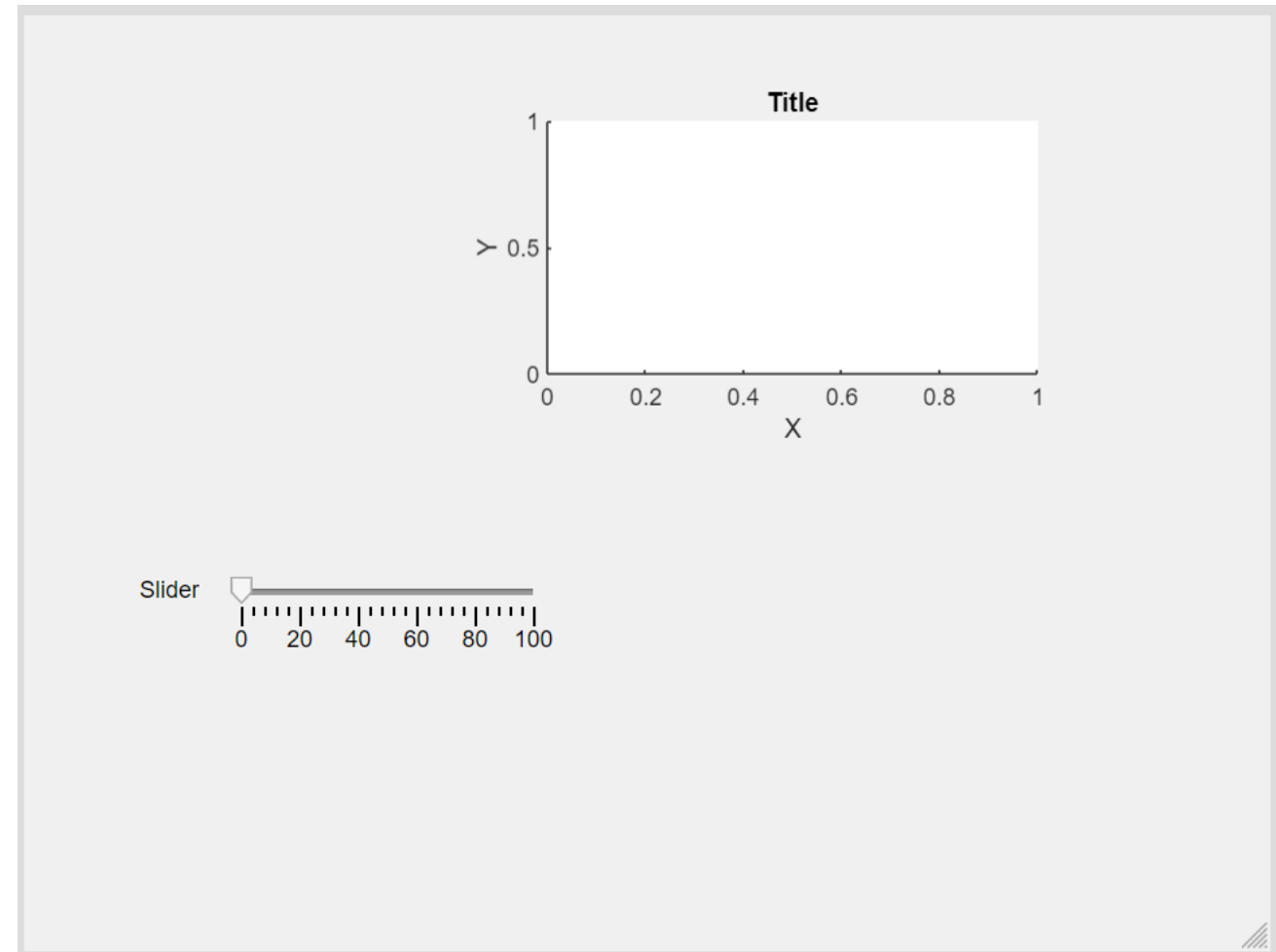


Modelling in MATLAB with “Design App”

<https://de.mathworks.com/products/matlab/app-designer.html>

Kurze DEMO Einfache Anwendung

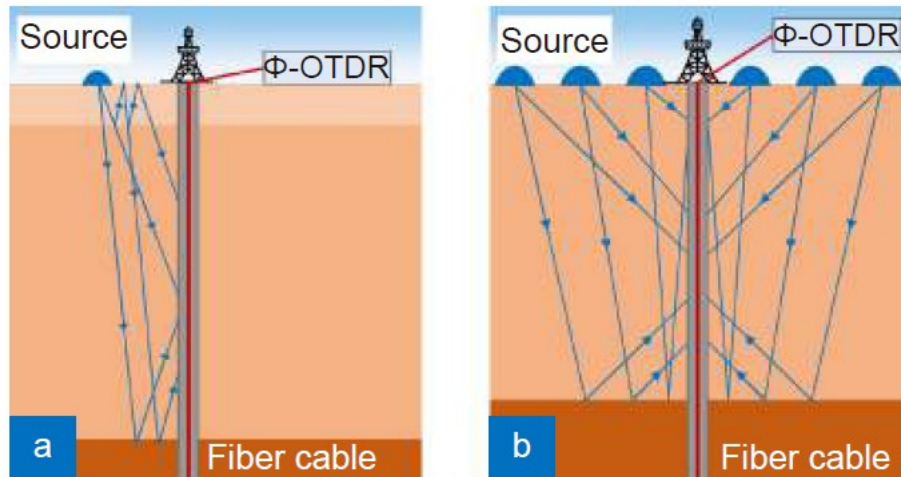
```
% Value changed function: Slider
function SliderValueChanged(app, event)
    value = app.Slider.Value;
    t=0:1e-3:2*pi;
    plot(app.UIAxes,t,value*sin(t))
end
end
```



DAS Applications

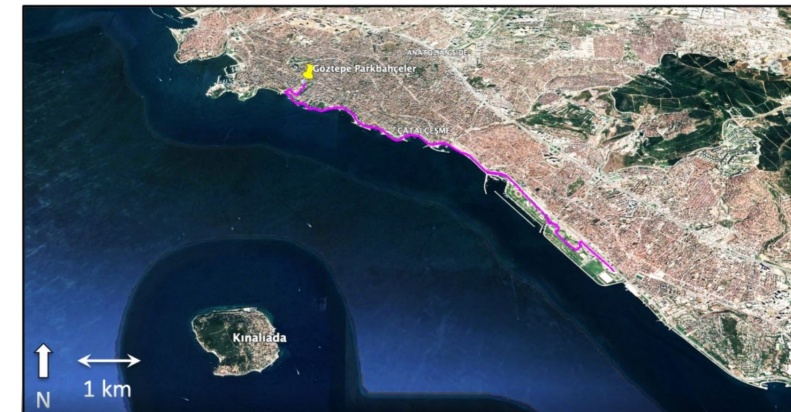
- Geological exploration

vertical seismic profiling (VSP)

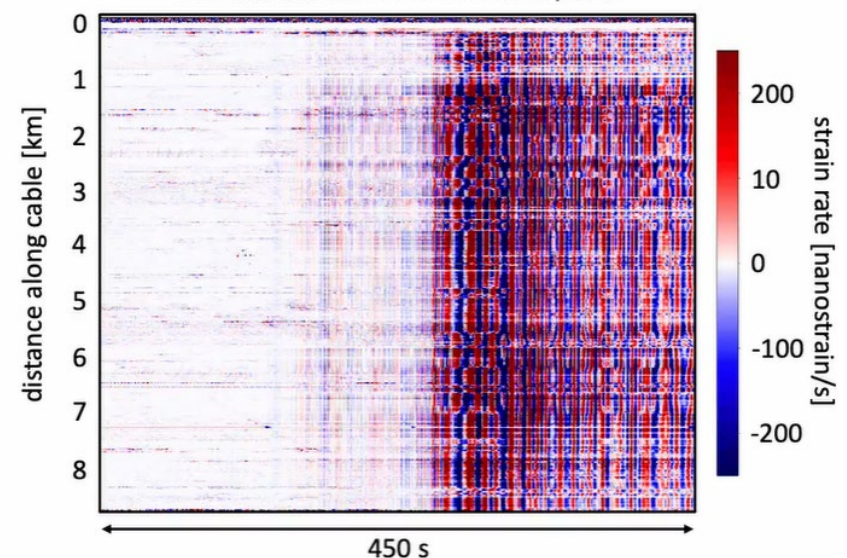


(a) Zero-offset VSP. (b) Walk-away VSP.

Liu SQ et al. Opto-Electron Adv 5, 200078 (2022) <https://doi.org/10.29026/oea.2022.200078>



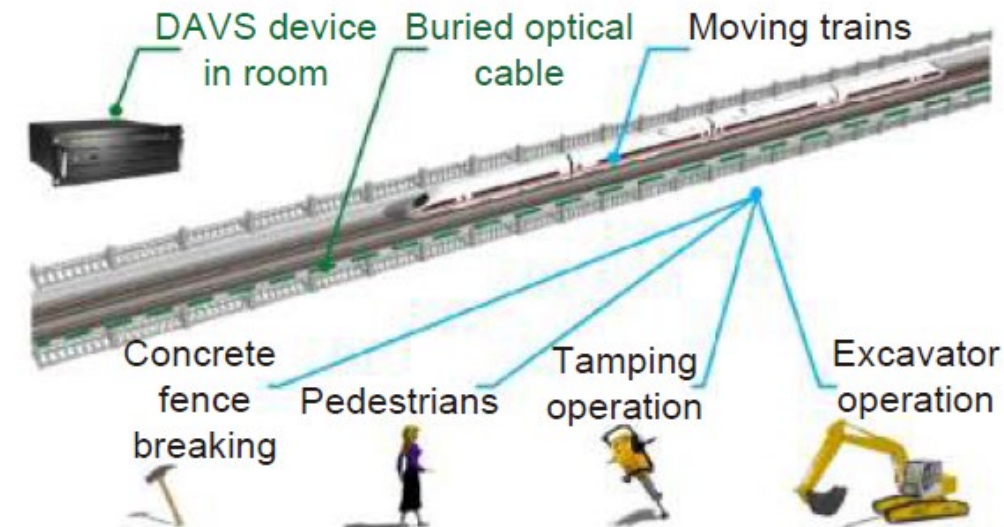
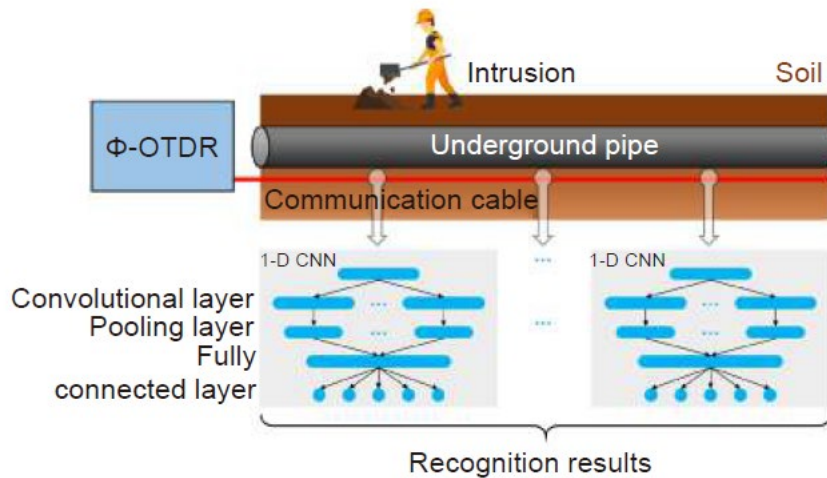
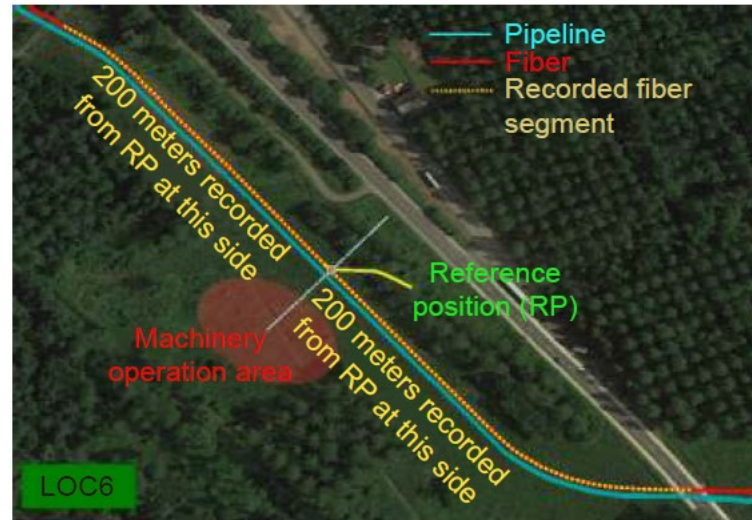
Strain-rate recording – Complete record
Start time: UTC 01:17:30.00 on 6 February 2023



https://www.linkedin.com/posts/silixa-ltd%2E_earthquake-seismology-research-activity-7030822703792054272-nEt6?utm_source=share&utm_medium=member_desktop

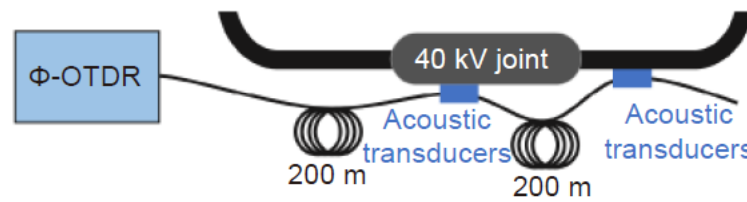
DAS Applications

- Perimeter monitoring

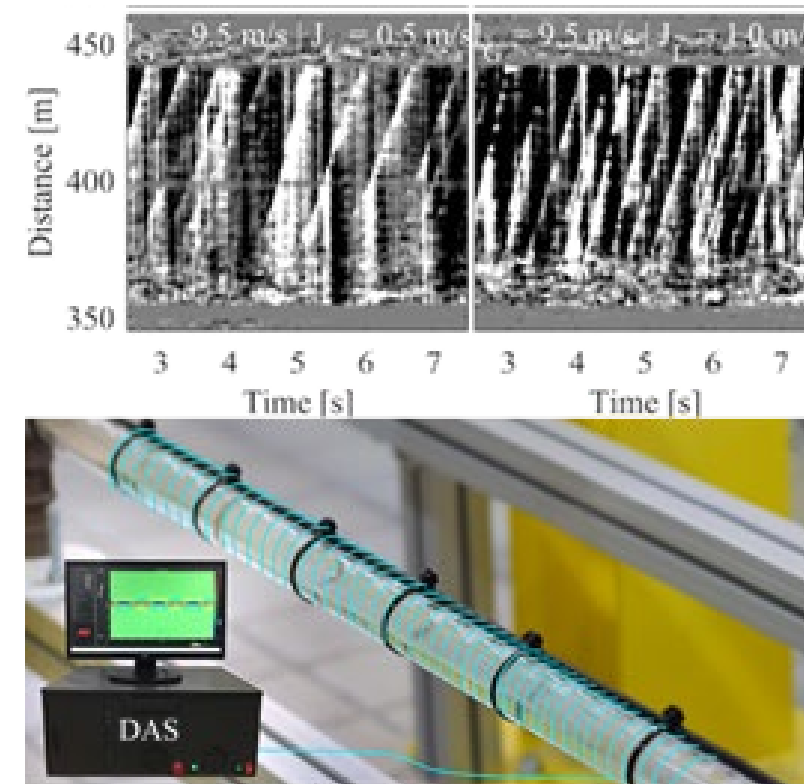


DAS Applications

- Partial discharge monitoring



- Flow monitoring



<http://dx.doi.org/10.1109/jsen.2022.3232269>